

Proposition de corrigé. H. Rondin-Khouya

I) Installation du spa

A) 1) On assimile le spa à un tore de section cané.



$$V = \pi H \times \frac{\pi d_{\text{ext}}^2}{4} - \pi d_{\text{int}}^2 \frac{\pi d_{\text{int}}^2}{4}$$

$$\Leftrightarrow V = \frac{\pi H}{4} (d_{\text{ext}}^2 - d_{\text{int}}^2)$$

Il faut $t_g = \frac{V}{D_p} = \frac{10}{2} \text{ min}$ pour gonfler le spa

$$\text{D'où } D_p = \frac{V}{t_g}$$

$$\Leftrightarrow D_p = \frac{3 \times 1}{4 \times 10 \times 60} (4 - 2) = \frac{3 \times 2}{4 \times 10 \times 60} = \frac{1}{4 \times 10 \times 10}$$

$$\Leftrightarrow D_p = 0,25 \times 10^{-2} \text{ m}^3 \cdot \text{s}^{-1} \text{ et } 1 \text{ m}^3 = 1000 \text{ L}$$

$$\Leftrightarrow D_p = 2,5 \text{ L} \cdot \text{s}^{-1}$$

2) L'air est un gaz parfait.

$$P_i V = n_i R T \quad (1) \quad T \text{ et } V \text{ fixes}$$

$$\Rightarrow (P_i + \Delta P) = (n_i + \Delta n) R T \quad (2)$$

$$\text{et } \Delta n = \frac{P_f}{R T} \frac{1}{V_m} \Delta T \quad \text{avec } V_m = 24 \text{ L/mol}$$

= dV petit volume

le volume moléculaire.

$$n_i = \frac{P_i V}{R T} \quad (1) \quad \left. \begin{array}{l} (2)-(1) \Rightarrow \Delta n = \frac{V}{R T} (P_f - P_i) \\ \Delta n = \frac{V}{R T} \Delta P \end{array} \right\}$$

$$n_f = \frac{P_f V}{R T} = n_i + \Delta n \quad (2)$$

$$\Rightarrow \frac{1}{V_m} \frac{D_p}{R T} dt = \frac{V}{R T} \Delta P$$

$$\Rightarrow dt = \frac{V V_m}{R T D_p} \Delta P \quad T \approx 300 \text{ K}$$

$$\text{AN: } dt = \frac{6 \times 24 \times 0,1 \times 10^5 \times 2}{8 \times 300 \times 5} = \frac{6000 \times 48 \times 0,1 \times 10^5}{8 \times 300 \times 5}$$

$$\Rightarrow dt = \frac{7 \times 24 \times 0,1 \times 10^5}{8}$$

$$\Rightarrow dt \approx 240 \text{ s}$$

3) Cette fois-ci, il n'y a pas de nouveau débit entrant dans le spa.

$$P_i V_i = n_i R T_i \quad \downarrow \text{est } P_i \text{ et } V_i \text{ fixes} \quad (P_f = P_i + \Delta P) \quad V_i = V_f$$

$$P_f V_f = n_f R T_f$$

$$\Rightarrow \begin{cases} P_i V_i = n_i R T_i & (1) \\ (P_i + \Delta P) V_f = n_f R (T_i + \Delta T) & (2) \end{cases}$$

$$(2) - (1) \cdot n_i R \Delta T = \Delta P V$$

$$\Rightarrow \Delta T = \frac{V}{m R} \Delta P$$

$$\text{et } m R = \frac{P_i V_i}{T_i} \quad \text{donc} \quad \Delta T = \frac{T_i}{P_i} \Delta P$$

$$\text{AN: } \Delta T = \frac{288 \times 0,1 \times 10^5}{10^5}$$

$$\Rightarrow \Delta T = 28,8 \text{ K}$$

B) 4] $\Delta T = v_c \Delta t$

$$\Rightarrow \Delta t = \frac{\Delta T}{v_c}$$

$$\text{AN: } \Delta t = \frac{20}{2}$$

$$\Rightarrow \Delta t = 10 \text{ h}$$

Isolons l'eau :

On a, d'après le premier principe de la thermodynamique pour une phase condensée :

$$\Delta U = \rho c_v \Delta t = m c_v \Delta T \quad \approx 20$$

D'où $P_c = \frac{m c_v \Delta T}{\Delta t}$

$$(m = \rho V_{int})$$

$$\text{avec } V_{int} = \pi R_e^2 \times \frac{d_{int}^2}{4}$$

$$\Rightarrow m \approx 3 \times \frac{3 \times 2}{4} \times 1000$$

$$\Rightarrow m \approx 4,5 \times 10^3 \text{ kg}$$

$$\text{AN: } P_c = \frac{4,5 \times 10^3 \times 4,2 \times 10^3 \times 20}{10 \times 60 \times 60}$$

$$\Rightarrow P_c = \frac{400 \times 10^6}{3600 \times 10}$$

$$\Rightarrow P_c \approx \frac{1,1 \times 10^6}{10^2}$$

$$\Rightarrow P_c \approx 11 \text{ kW}$$

→ Il y a un facteur 4 entre les deux valeurs.

→ Ceci est explicatif grâce au fait qu'il y a des pertes thermiques

5] Le Soleil est le plus efficace lorsqu'il est au zénith. Donc aux alentours de 12h.

→ Les rayons sont orthogonaux à la surface de la Terre

6] L'onde EM issue du Soleil est composée de photons.

L'onde est plane progressive harmonique (elle satisfait à elle-même l'équation de d'Alembert)

→ Cette forme est donc cohérente.

Par définition, $\vec{P} = q \vec{NP}$ où \vec{NP} est le vecteur séparant le barycentre des charges positives et le barycentre des charges négatives.

→ L'ODEM excite l'électron qui rentre en oscillation forcée (force: $q\vec{E} = q\epsilon_0 \omega (\vec{u}(t) - \vec{v}_c)$)

→ Apparition d'une polarisation car \vec{NP} oscille !

→ ω_0 est la pulsation de résonance.

7] Par définition, $E_w(x) = \langle P_s(x) \rangle = \langle \frac{1}{2} \vec{H} \cdot \vec{W} \rangle$

avec $P_s(x) = \left| \frac{\vec{E} \times \vec{B}}{\mu_0} \right|$ la norme du vecteur de Poynting

Le bilan d'énergie électromagnétique donne

$$\underbrace{\frac{\partial u_{em}}{\partial t}}_{=0 \text{ en RP}} + \text{div}(\vec{T}) = -m \vec{P}$$

pouissance volumique transmise aux molécules d'air.

$$\Rightarrow \langle \frac{\partial \vec{H}}{\partial x} \rangle = -m \vec{P}$$

$$\Rightarrow \frac{\partial \langle \vec{H} \rangle}{\partial x} = -m \vec{P}$$

$$(1) \quad \vec{\pi} = \frac{\vec{E} \wedge \vec{B}}{\mu_0} = \frac{E_0 \cos(\omega t - kx)}{\mu_0} \vec{e}_y \wedge \vec{B}$$

Dans le nido, $\text{rot}(\vec{E}) = -\frac{\partial \vec{B}}{\partial t}$ (Maxwell - Faraday)

$$\Leftrightarrow -j\omega \vec{k} \wedge \vec{E} = -j\omega \vec{B} \quad (k = \frac{\omega}{c})$$

$$\Leftrightarrow \vec{B} = \frac{\vec{k} \wedge \vec{E}}{\omega} \stackrel{(Re)}{\Rightarrow} \frac{1}{c} \vec{e}_x \wedge E_0 \cos(\omega t - kx) \vec{e}_y$$

$$\Leftrightarrow \vec{B} = -\frac{E_0}{c} \cos(\omega t - kx) \vec{e}_y.$$

$$\text{D'où } \vec{\pi} = -\frac{E_0^2}{\mu_0 c} \cos^2(\omega t - kx) \vec{e}_y \wedge \vec{e}_y$$

$$\Leftrightarrow \vec{\pi} = \frac{E_0^2}{\mu_0 c} \cos^2(\omega t - kx) \vec{e}_x \Rightarrow \langle \vec{\pi} \rangle = \frac{E_0^2}{2\mu_0 c}$$

$$\text{et } P = \frac{P_0^2 \omega^4}{12\pi \epsilon_0 c^3}, \quad P_0 = \frac{e^2 E_0}{m(c^2 - \omega^2)}$$

$$\text{Donc } P = \frac{e^4 \omega^4}{12\pi m^2 \epsilon_0 c^3 m^2 (c^2 - \omega^2)^2} E_0^2$$

$$\Leftrightarrow P = \frac{e^4 \omega^4}{12\pi m^2 \epsilon_0 c^3 m^2 (1 - \frac{\omega^2}{c^2})^2} \times 2\mu_0 c \langle \vec{\pi} \rangle$$

$$\text{Or } \frac{\mu_0 c}{\epsilon_0 c^3} = \frac{\mu_0}{\epsilon_0 c^2} \text{ et } \frac{1}{c^2} = \epsilon_0 \mu_0$$

$$= \frac{\epsilon_0 \mu_0 \times 4\pi}{c^2} = \mu_0^{-2}$$

$$\Leftrightarrow P = \frac{\mu_0^2 e^4}{6\pi m^2 (1 - K^2)^2} \langle \vec{\pi} \rangle$$

$$\text{D'où } \frac{\partial \langle \pi \rangle}{\partial x} = -\left(\frac{n \mu_0^2 e^4}{6\pi m^2 (1 - K^2)^2} \right) \langle \pi \rangle \quad (3)$$

$$\Rightarrow \langle \pi \rangle = \langle \pi(0) \rangle \exp(-x/H_w)$$

$$\Rightarrow \epsilon_w(x) = \epsilon_w(0) \exp(-x/H_w)$$

$$\text{ou } H_w = \frac{6\pi m^2 (1 - K^2)^2}{n \mu_0^2 e^4}$$

$$[H_w] = \left(\frac{L^{-3} \times M^2 \cdot L^2 \cdot A^{-4} \cdot T^{-4} \cdot A^4 \cdot T^4}{M^2} \right)^{-1}$$

$$\Rightarrow [H_w] = (L^{-1})^{-1} = L \quad \underline{\text{OK!}}$$

$$8) \text{ Loi de Wien: } \lambda_{\max} T_s = 2900 \text{ } \mu\text{m.K}$$

$$\text{Or } K = \frac{\omega_0}{\omega} \text{ et } \omega = 2\pi f = \frac{2\pi c}{\lambda_{\max}}$$

$$\Rightarrow K = \frac{\lambda_{\max} \omega_0}{2\pi c}$$

$$\lambda_{\max} = \frac{2900}{5800} \mu\text{m} = 0,5 \mu\text{m} = 500 \text{ nm (jaune)}$$

$$\text{Donc } K = \frac{500 \times 10^{-9} \times 23 \times 10^{16}}{6 \times 3 \rho \times 10^8}$$

$$\Rightarrow K = \frac{5 \times 23}{18} \times 10^{-1} = \frac{0,5 \times 23}{18} \approx 0,05$$

Le terme $(1 - k^2)^2$ vaut si peu près 1

Sachant que $V_m = 24 \text{ L/mol}$ pour l'air,

$$\text{il vient } m = \frac{nV_A}{V_m} \left(\frac{\text{mols}}{\text{L/mol}} \right)$$

$$\Rightarrow n = \frac{6,02 \times 10^{23}}{24,0 \times 10^{-3}} \approx \frac{1}{6} \times 10^{26} \text{ m}^{-3}$$

$$\Rightarrow n \approx 10^{25} \text{ m}^{-3} (\text{ODG})$$

$$\text{D'où } H_w = \frac{6 \times 3 \times (10^{-3})^2}{10^{25} \times 4^2 \times 3^2 \times 10^{-14} \times 2^4 \times 10^{-76}}$$

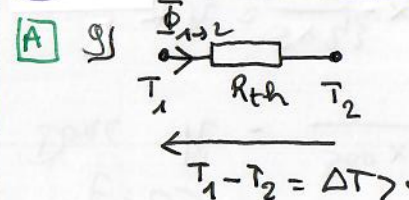
$$\Rightarrow H_w = \frac{6 \times 3}{16^2 \times 3 \times 3} \times \frac{10^{-60}}{10^{14} \times 10^{-76}}$$

$$\Rightarrow H_w \approx \frac{2}{16^2} \times 10^5 \text{ m}$$

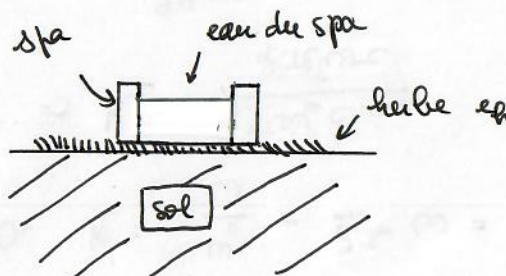
$$\Rightarrow H_w \approx 1 \text{ km}$$

► Une augmentation d'altitude du spa me changera rien.

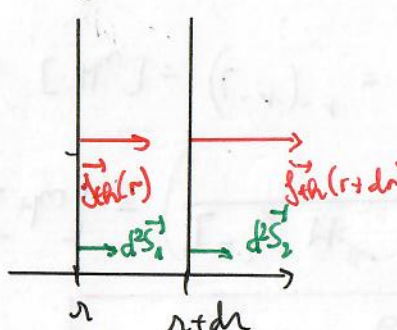
II Utilisation du spa



resistance thermique (K.W^{-1}) (4)
 $R_{th} = \frac{\Delta T}{\vec{J}_{th,1 \rightarrow 2}}$ où $\vec{J}_{th,1 \rightarrow 2} = \iint j_{th} \cdot d^S$
 en régime stationnaire
 en régime instationnaire
 le flux thermique



En cylindrique en RP, on note une {paroi verticale du spa} entre r et $r+dr$



$$d^2Q = \delta^2 Q + \delta^2 W \stackrel{=}{\sim} (\text{phase condensée})$$

$$\delta^2 Q = \iint_{S_1} \vec{j}_{th}(r) \cdot d^2 \vec{S}_1 dt - \iint_{S_2} \vec{j}_{th}(r+dr) \cdot d^2 \vec{S}_2 dt$$

$$\Rightarrow \delta^2 Q = 2\pi r H \vec{j}_{th}(r) dt - 2\pi(r+dr) H \vec{j}_{th}(r+dr) dt$$

$$\Rightarrow \delta^2 Q = -\frac{d}{dr} (r \vec{j}_{th}(r)) dr dt \times 2\pi H$$

Loi de Fourier $\vec{j}_{th} = -\lambda_a \times \vec{q}_{ad}(T)$) invariance par rotation
 $= -\lambda_a \cdot \frac{dT}{dr}$ ici selon θ + trans. selon θ

$$\text{D'où } \delta^2 Q = 2\pi L H \lambda_{\text{air}} \int_0^r \frac{d}{dr} \left(r \frac{dT}{dr} \right) dr dt.$$

$$\Rightarrow \delta^2 Q = 0 \Leftrightarrow \frac{d}{dr} \left(r \frac{dT}{dr} \right) = 0$$

$$\Leftrightarrow r \frac{dT}{dr} = A$$

$$\Leftrightarrow \frac{dT}{dr} = \frac{A}{r}$$

$$\Leftrightarrow \int_{T(-)}^{T(+)} dT' = A \int_{\frac{d_{\text{int}}}{2}}^r \frac{dr'}{r},$$

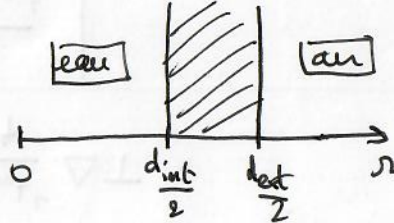
$T\left(\frac{d_{\text{int}}}{2}\right) = T_{\text{int}}$ en ARES

$$\Rightarrow T(r) = T_{\text{int}} + A \ln \left(\frac{r}{\frac{d_{\text{int}}}{2}} \right)$$

$$\text{et } T\left(\frac{d_{\text{ext}}}{2}\right) = T_{\text{ext}} = T_{\text{int}} + A \ln \left(\frac{d_{\text{ext}}}{2} \times \frac{2}{d_{\text{int}}} \right)$$

$$\Rightarrow A = \frac{T_{\text{ext}} - T_{\text{int}}}{\ln \left(\frac{d_{\text{ext}}}{2} \times \frac{2}{d_{\text{int}}} \right)}$$

$$\text{D'où } T(r) = T_{\text{int}} + \left(T_{\text{ext}} - T_{\text{int}} \right) \times \frac{\ln \left(\frac{2r}{d_{\text{int}}} \right)}{\ln \left(\frac{d_{\text{ext}}}{2} \times \frac{2}{d_{\text{int}}} \right)}$$



$$\text{Et } \Phi_{\text{int} \rightarrow \text{ext}} = \iint_S \vec{j}_{\text{th}} \cdot d^2 \vec{S}$$

$$= -\lambda_a \frac{dT}{dr} \times 2\pi r H$$

$$\Leftrightarrow \Phi_{\text{int} \rightarrow \text{ext}} = \frac{T_{\text{ext}} - T_{\text{int}}}{\pi \ln \left(\frac{d_{\text{ext}}}{d_{\text{int}}} \right)} \times (-\lambda_a) \times 2\pi r H \quad (5)$$

$$\text{Et } R_p = \frac{T_{\text{int}} - T_{\text{ext}}}{\Phi_{\text{int} \rightarrow \text{ext}}} \quad \Leftrightarrow R_p = \frac{\ln \left(\frac{d_{\text{ext}}}{d_{\text{int}}} \right)}{2\pi L \lambda_a H}$$

$$\xleftarrow{\Delta T}$$

Sous l'installat, géométrie linéaire : $\frac{d^2 T}{dz^2} = 0$

$$\begin{aligned} T(z) &= Az + B \\ T(0) &= T_{\text{int}} = B \\ T(eh) &= T_{\text{ext}} = Aeh + T_{\text{int}} \\ \Rightarrow A &= \frac{T_{\text{ext}} - T_{\text{int}}}{eh} \end{aligned}$$

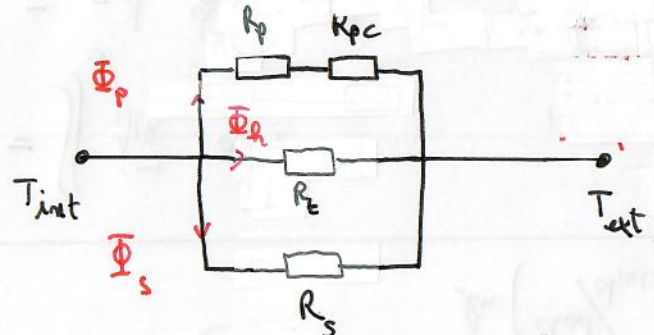
$$\begin{aligned} \text{D'où } T(z) &= \frac{T_{\text{ext}} - T_{\text{int}}}{eh} z + T_{\text{int}} \\ \vec{j}_{\text{th}} &= -\lambda_h \frac{dT}{dz} \vec{z} \Rightarrow \vec{j}_{\text{th}} = \frac{\lambda_h (T_{\text{int}} - T_{\text{ext}})}{eh} \vec{z} \end{aligned}$$

$$\text{D'où } R_h = \frac{T_{\text{int}} - T_{\text{ext}}}{\Phi_{\text{int} \rightarrow \text{ext}}}$$

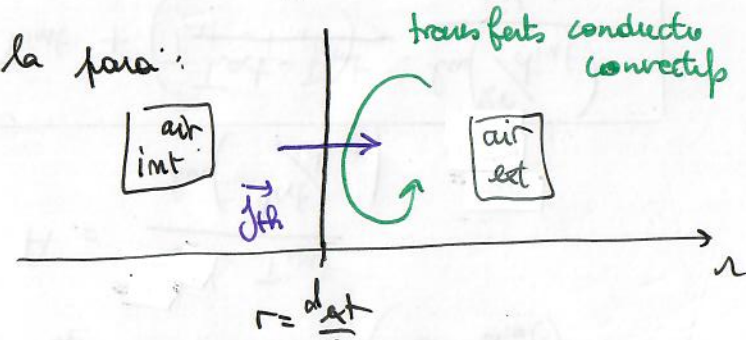
$$\text{avec } \Phi_{\text{int} \rightarrow \text{ext}} \Rightarrow \pi L \frac{d_{\text{int}}^2}{4} \times \frac{\lambda_h (T_{\text{int}} - T_{\text{ext}})}{eh}$$

$$\Rightarrow R_h = \frac{4eh}{\pi L \lambda_h d_{\text{int}}^2}$$

10) Dessine un schéma électrique équivalent.



Au niveau de la paroi :



$$P = \iint j_{th} \cdot d^2S = h_a \times \pi L \times \frac{dt}{dx} \times H \Delta T$$

$r = \frac{dt}{dx}$

D'où $R_{pc} = \frac{\Delta T}{P} \Rightarrow R_{pc} = \frac{1}{\tau_{chadext} H}$

De même, à la surface de l'eau :

$$P = h_a \times \pi L \times \frac{(dt/dx)^2}{4} \Delta T$$

$$\Rightarrow R_s = \frac{4}{\tau_{chadint}^2}$$

Tolons l'eau et appliquons le premier principe de la thermodynamique

$$dU = m c_a \frac{dT}{dt} = \delta Q \quad \Delta T = T_{ext} - T_{int}$$

$$\text{et } \dot{\phi}_{tot} = \frac{\delta Q}{dt}, \quad \phi_{tot} = \Phi_p + \Phi_h + \Phi_s$$

$$\text{D'où } m c_a \frac{dT_{int}}{dt} = \Delta T \left(\frac{1}{R_{pc} + R_p} + \frac{1}{R_s} + \frac{1}{R_t} \right) dt$$

$$\Leftrightarrow m c_a \frac{dT_{int}}{dt} + \left(\frac{R_p R_t + R_s R_t + R_p R_s}{R_p R_s R_t} \right) T_{int} = \beta T_{ext}$$

$$\Leftrightarrow \frac{dT_{int}}{dt} + \frac{1}{\tau} T_{int} = \frac{1}{\tau} T_{ext}$$

$\tau = \frac{R_p R_s R_t}{R_p R_s + R_s R_t + R_p R_t}$

$$\Leftrightarrow T_{int}(t) = T_{ext} + A e^{-t/\tau}$$

$$\text{À } t=0, \quad T_{int}(0) = T_{ext} + A \Rightarrow A = T_{int}(0) - T_{ext}$$

$$\Rightarrow T_{int}(t) - T_{ext} = (T_{int}(0) - T_{ext}) e^{-t/\tau}$$

$$\text{or } \tau = \frac{m c_a}{\beta} = \frac{R_p R_s R_t \rho \tau_{chadint}^2 H}{4 [R_p (R_s + R_t) + R_s R_t]} \quad \begin{matrix} 1000 \times 3 \times 2 \times 1 \\ 26000 \text{ kg} \end{matrix}$$

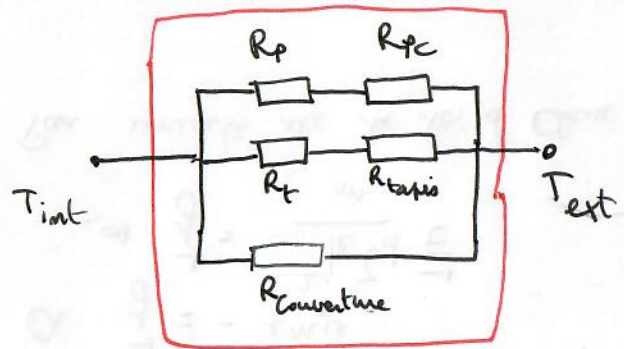
$$\underline{\underline{\tau}} : \tau = 50 \text{ h}$$

Il faut attendre assez longtemps pour que $T_{int} \rightarrow T_{ext}$
L'hypothèse du régime quasi stationnaire est correcte

11] On rajoute deux résistances thermiques supplémentaires.

D'ici

$$\left\{ \begin{array}{l} R_{couverture} = \frac{1}{d_a} \times \frac{e_s}{S} \quad \text{avec } S = \pi \frac{d_{int}^2}{4} \\ R_{tapis} = \frac{1}{d_a} \times \frac{e_t}{S} \end{array} \right. \quad = \frac{3 \times 2}{4} = 1,5 \text{ m}^2$$



$$G_{eq} = \frac{1}{R_{couverture}} + \frac{1}{R_t + R_{tapis}} + \frac{1}{R_p + R_{pc}}$$

$$G_{eq} = \frac{45 \times 10^{-2} \times 45}{0,25} + \frac{1}{0,15} + \frac{1}{3}$$

$$G_{eq} = 0,25 + 0,33 + 0,66$$

$$G_{eq} \simeq 7 \text{ W.K}^{-1}$$

D'ici $T' = \frac{mca}{G_{eq}} = 1000 \text{ h}$

$$G = \frac{T'}{T} \simeq 20$$

Sont 20x plus! Le gain de temps est considérable

12] Il faut compenser les pertes
 $G_{eq} = 7 \text{ W.K}^{-1}$

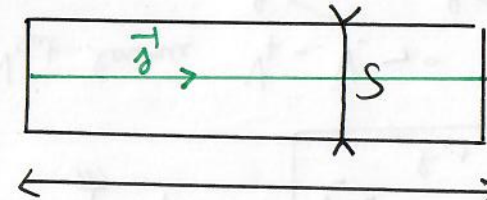
$$\frac{dT_{int}}{dt} = 0 \Leftrightarrow P = -\dot{\Phi}_{tot}$$

Il faut compenser les pertes.

$$P = -G_{eq} \Delta T \quad \text{avec } \Delta T = T_{ext} - T_{int} = -23 \text{ K}$$

$$\Rightarrow P = 160 \text{ W}$$

B) 13)



conductivité électrique
 σ

$$\text{Par définition, } R_{el} = \frac{L}{\frac{\int_L \vec{j} \cdot d\vec{l}}{\int_S \vec{j} \cdot d\vec{s}}} \quad)$$

$$\rightarrow R_{el} = \frac{EL}{jS}$$

en R_p
 et sous les
 effets de bord

D'après la loi d'Ohm, $\vec{j} = \sigma \vec{E}$

$$\rightarrow R_{el} = \frac{EL}{\sigma ES}$$

$$\Rightarrow R_{el} = \frac{L}{\sigma S}$$

14) Système : $\vec{h} = \vec{h}$

Ref: laboratoire, repère galiléen

$$\underline{\text{Bdf}}: \vec{F}_{\text{élec}} = -e\vec{E}$$

$$\vec{F}_d = -\frac{m\vec{v}}{\tau_d}$$

Le principe fondamental de la dynamique donne :

$$m \frac{d\vec{v}}{dt} = -e\vec{E} - \frac{m\vec{v}}{\tau_d}$$

$$\Rightarrow \frac{d\vec{v}}{dt} + \frac{1}{\tau_d} \vec{v} = -\frac{e}{m} \vec{E}$$

$$\text{D'où } \vec{v}(t) = -\frac{e\tau_d}{m} \vec{E} + \vec{A} e^{-t/\tau_d}$$

Pour $t \gg \tau_d$ alors $e^{-t/\tau_d} \xrightarrow[t \gg \tau_d]{} 0$

$$\text{D'où } \vec{v} \approx -\vec{c}te = -\frac{e\tau_d}{m} \vec{E}$$

$$\text{Or } \vec{j} = -e n_e \vec{v}$$

$$\Rightarrow \vec{j} = \frac{e^2 n_e \tau_d}{m} \vec{E}$$

Par unicité de la loi d'Ohm :

$$\tau = \frac{e^2 n_e \tau_d}{m}$$

15) Entre deux collisions, la notion de force de frottement fluide n'a plus de sens.

$$\vec{v} = \vec{v}_0 + \delta\vec{v} \text{ où } \delta\vec{v} = -\frac{e}{m} \vec{E} dt$$

petit increment de vitesse

τ_d : temps moyen entre deux collisions

Si $T \uparrow$ alors $\tau_d \downarrow$ (plus de collisions)

Donc $T \uparrow$ et donc comme $R_{\text{el}} \propto \frac{1}{T}$ alors $R_{\text{el}} \downarrow$

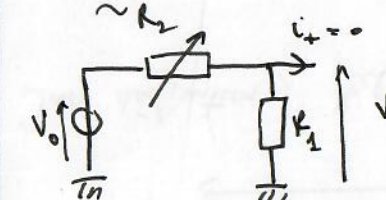
16) ALI idéal en saturation

$$\hookrightarrow i_+ = i_- = 0$$

$$\hookrightarrow V_S = \pm V_{\text{sat}}$$

* $V_+ = ?$ Point devant le terminale OK ($i_+ \approx 0$)

$$\stackrel{V_- = ?}{\sim R_2}$$



$$V_+ = \frac{R_1}{R_1 + R_2} V_0$$

$$V_- = \frac{R_1}{R_1 + R_{\text{th}}} V_0 \quad (\text{m technique})$$

$V_3 = +V_{\text{sat}}$ lorsque $V_+ - V_- \rightarrow 0$

$$\Leftrightarrow \frac{R_1}{R_1 + R_2} - \frac{R_1}{R_1 + R_{\text{th}}} \rightarrow 0$$

$$\Leftrightarrow \frac{1}{R_1 + R_2} > \frac{1}{R_1 + R_{\text{th}}}$$

$$\Leftrightarrow R_1 + R_2 < R_1 + R_{\text{th}}$$

$$\Leftrightarrow R_{\text{th}} > R_2$$

$$\Leftrightarrow 1 + \alpha(T - T_{\text{ref}}) > \frac{R_2}{R_0}$$

$$\Leftrightarrow T > T_{\text{ref}} + \frac{1}{\alpha} \left(\frac{R_2}{R_0} - 1 \right)$$

L'ALI change d'état dès que $V_+ - V_- < 0$

$\Leftrightarrow \dots$

$$\Leftrightarrow R_{th} < R_2$$

$$\Leftrightarrow T < T_{ref} + \frac{1}{\alpha} \left(\frac{R_2}{R_0} - 1 \right)$$

La température de basculement est $T_b = T_{ref} + \frac{1}{\alpha} \left(\frac{R_2}{R_0} - 1 \right)$

↳ On utilise une résistance réglable !

$$\frac{\mu(R_2)}{R_2} = I : \text{incertitude relative sur } R_2$$

On veut que T_b soit précis à $1^\circ C$ près.

$$\Rightarrow \mu(T_b) = T_b \times \frac{\mu(R_2)}{R_2}$$

$$\Rightarrow \boxed{\frac{\mu(R_2)}{R_2} = \frac{1}{T_b} \text{ en K}}$$

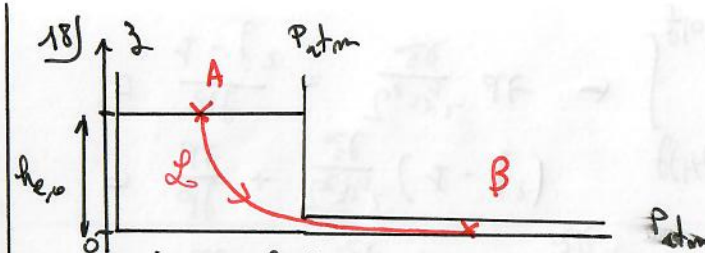
II Vidange du spa

17) L'écoulement n'étant pas visqueux, on ne retrouve pas de profil parabolique de type Poiseuille.

Il y a conservation du débit volumique car le liquide (l'eau est incompressible)

$$\Rightarrow v_s \times \cancel{\pi} \frac{d_{int}^2}{4} = v_t \times \cancel{\pi} \frac{d_t^2}{4}$$

$$\Rightarrow \boxed{\frac{v_t}{v_s} = \left(\frac{d_{int}}{d_t} \right)^2 \gg 1}$$



- * fluide parfait
- * axe z orienté vers le haut
- * fluide incompressible

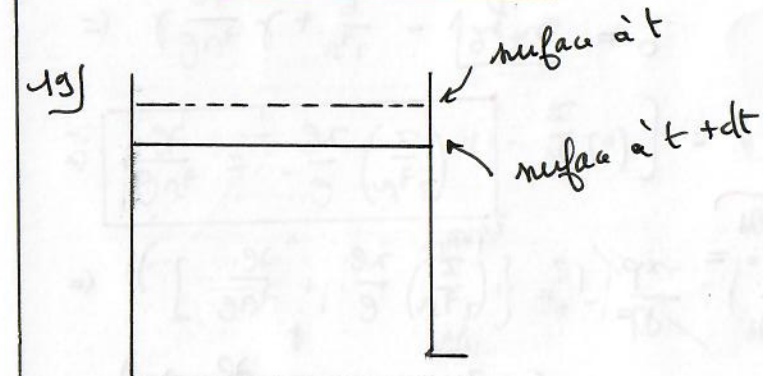
D'après le théorème de Bernoulli, appliquée sur la ligne de courant entre A et B, il vient :

$$\boxed{P_A + \rho g z_A + \frac{1}{2} \rho v_A^2 = P_B + \rho g z_B + \frac{1}{2} \rho v_B^2}$$

$$\Rightarrow \frac{1}{2} \rho v_t^2 = \rho g h_{e,o}$$

$$\Rightarrow \boxed{v_t = \sqrt{2 g h_{e,o}}}$$

(relation de Torricelli)



$v_A = - \frac{dh_e}{dt} > 0$ d'où on a, d'après la conservation du débit volumique :

$$-\frac{dh_e}{dt} = \left(\frac{d_t}{d_{int}} \right)^2 \sqrt{2 g h_e}$$

$$\Leftrightarrow \frac{d\vec{h}_e}{\sqrt{h_e}} = -\sqrt{g} \left(\frac{dt}{dt_{int}} \right)^2 dt \quad (\text{réparation des variables})$$

$$\Leftrightarrow \int_{h_{e,0}}^{h_e(t)} d\vec{h}_e' = -\sqrt{g} \left(\frac{dt}{dt_{int}} \right)^2 \int_0^t dt'$$

$$\Leftrightarrow \left[\frac{1}{t - \frac{1}{2}} h_e + \frac{1}{2} \right]_{h_{e,0}}^{h_e(t)} = -\sqrt{g} \left(\frac{dt}{dt_{int}} \right)^2 t$$

$$\Leftrightarrow 2\sqrt{h_e(t)} - 2\sqrt{h_{e,0}} = -\sqrt{g} \left(\frac{dt}{dt_{int}} \right)^2 t$$

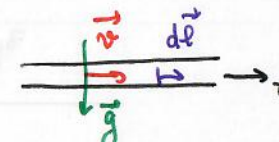
$$\Rightarrow t = \left(2\sqrt{h_{e,0}} - 2\sqrt{h_e(t)} \right) \times \left(\frac{dt_{int}}{dt} \right)^2 \times \frac{1}{\sqrt{g}}$$

À $t = t_V$, $h_e(t_V) = 0$: le SP est vrillé!

D'où $t_V = \boxed{\sqrt{\frac{2h_{e,0}}{g}} \left(\frac{dt_{int}}{dt} \right)^2}$

20] L'équation d'Euler s'écrit :

$$\rho \left[\frac{\partial \vec{v}_t}{\partial t} + (\vec{v}_t \cdot \vec{\operatorname{grad}}) \vec{v}_t \right] = \rho \vec{g} - \vec{\operatorname{grad}}(\rho)$$



$$\Leftrightarrow \rho \left[\frac{\partial \vec{v}_t}{\partial t} + \vec{\operatorname{grad}} \left(\frac{v_t^2}{2} \right) - \vec{v}_t \wedge \vec{\operatorname{rot}}(\vec{v}_t) \right] = \rho \vec{g} - \vec{\operatorname{grad}}(\rho)$$

Sat $d\vec{l}$ un petit élément vectoriel de longueur dans le tuyau.

NB : $\frac{dp}{dt} \stackrel{\approx}{=} \vec{\operatorname{grad}}(\rho) \cdot d\vec{l}$ pour f une fonction à plusieurs variables

$$\Rightarrow \rho \left[\frac{\partial \vec{v}_t}{\partial t} \cdot d\vec{l} + \vec{a} \left(\frac{v_t^2}{2} \right) \right] = -dp$$

$$d\vec{l} = \vec{dx} \hat{e}_x \\ v_t = v_t(x, t) \hat{e}_x$$

$$\Rightarrow \rho \left[\frac{\partial v_t}{\partial t} dx + \vec{a} \left(\frac{v_t^2}{2} \right) \right] = -dp$$

$$\Rightarrow \rho \left[\frac{\partial v_t}{\partial t} \int_0^l dx + \int_{v_t(0)/2}^{v_t(l)} \vec{a} \left(\frac{v_t^2}{2} \right) \right] = - \underbrace{\int_{p(0)}^{p(l)} dp}_{=0}$$

$$\Rightarrow \rho \left[\frac{\partial v_t}{\partial t} l + \frac{v_t^2(l) - v_t^2(0)}{2} \right] = 0$$

$$\Rightarrow l \frac{\partial v_t}{\partial t} + \frac{v_t^2(l) - v_t^2(0)}{2} - g h_{e,0} = 0$$

$$\Rightarrow \boxed{\frac{\partial v_t}{\partial t} + \frac{1}{2l} v_t^2 = \frac{gh_{e,0}}{l}}$$

21] Solution : $v_t(t) = v_1 f(t/T_e)$

$$\Rightarrow v_1 \frac{df}{dt} + \frac{1}{2l} v_1^2 f^2 = \frac{gh_{e,0}}{l}$$

$$\Rightarrow \frac{df}{dt} + \frac{v_1}{2l} f^2 = \frac{gh_{e,0}}{v_1 l} \quad (+)$$

En RP, lorsque $t \rightarrow +\infty$, $v_t(t) \rightarrow \boxed{gh_{e,0}} = v_1$
et $f\left(\frac{t}{T_e}\right) \xrightarrow[t \rightarrow +\infty]{} 1$

$$(+) \Rightarrow \frac{df}{dt} + \frac{v_1}{2l} f^2 = \frac{v_1^2}{2v_1 l} = \frac{v_1}{2l}$$

$$\Rightarrow \frac{df}{dt} = \frac{v_1}{2l} (1 - f^2)$$

$$\Rightarrow \frac{df}{1-f^2} = \frac{v_1}{2l} dt \rightarrow \int_{f(0)}^{f(T_e)} \frac{df}{1-f^2} = \frac{v_1}{2l} t$$

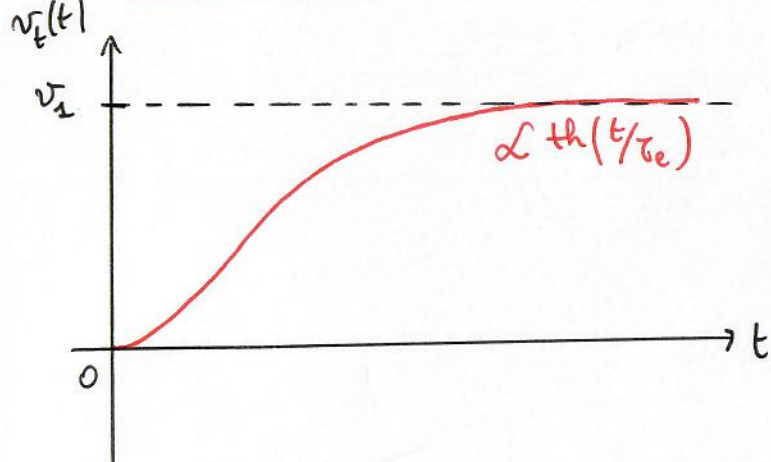
$$f(T_e) =$$

$$\Leftrightarrow \operatorname{Argth}\left(f\left(\frac{t}{\tau_e}\right)\right) = \frac{v_1}{2l} t$$

$$\Leftrightarrow f\left(\frac{t}{\tau_e}\right) = \operatorname{th}\left(\frac{v_1}{2l} t\right)$$

) la fonction réciproque de Argth est th

On trouve $\tau_e = \frac{2l}{v_1}$



Pour être en régime permanent, il faut attendre à peu près $3\tau_e$.
 \Rightarrow Il faut donc $t \geq \frac{3v_1\tau_e}{2}$

22) Non c'est impossible. En bouchant le siphon, on augmente la pression et l'eau n'est plus à P_{atm} , mais à une pression $P > P_{\text{atm}}$. L'extrémité du tuyau est elle à P_{atm} !
 Donc l'écoulement ne peut pas se faire

► Pour toute remarque sur ce corrigé, envoyez un mail à l'adresse suivante :
 hugo.rondinbhony@gmail.com

(11)